

Модели многокомпонентной темной материи в космологии и астрофизике

Антон Чудайкин

01.04.02 - теоретическая физика

Научный руководитель:
Дмитрий Горбунов

16 мая 2019 г.

Содержание

1 Космологическая модель с распадающейся темной материей

- Проблемы наблюдательной космологии
- Гравитационное линзирование
- Крупномасштабная структура Вселенной

2 Стерильные нейтрино как часть темной материи

- Мотивация
- Фазовый переход в скрытом секторе

3 Когерентно осциллирующее слабо взаимодействующее скалярное поле

- Параметрический резонанс
- Осцилляции нейтрино в режиме большого поля
- Рождение внешним полем

4 Положения, выносимые на защиту

Содержание

1 Космологическая модель с распадающейся темной материей

- Проблемы наблюдательной космологии
- Гравитационное линзирование
- Крупномасштабная структура Вселенной

2 Стерильные нейтрино как часть темной материи

- Мотивация
- Фазовый переход в скрытом секторе

3 Когерентно осциллирующее слабо взаимодействующее скалярное поле

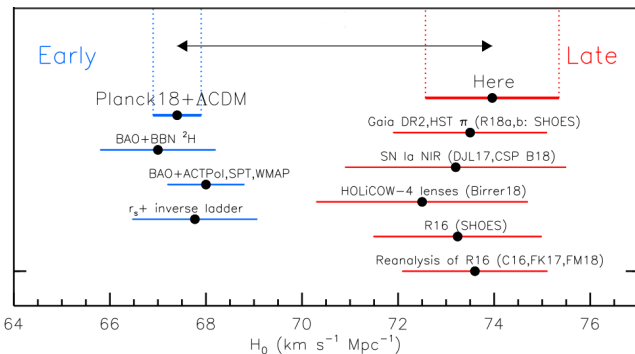
- Параметрический резонанс
- Осцилляции нейтрино в режиме большого поля
- Рождение внешним полем

4 Положения, выносимые на защиту

Постоянная Хаббла

Сверхновые типа Ia	«Планк» TT+TE+EE+lowP
$H_0 = 73.24 \pm 1.74$ A. G. Riess et. al, 2016	$H_0 = 67.27 \pm 0.6$ P. A. R. Ade et al., 2015

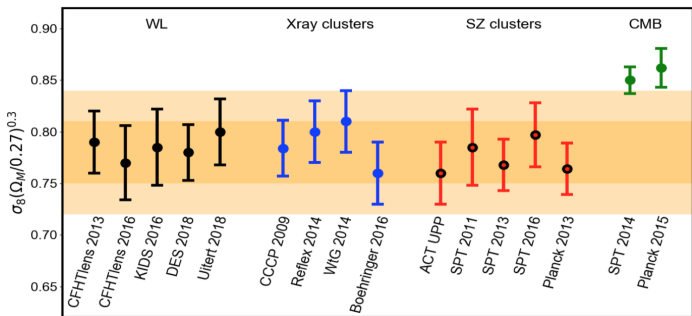
Единицы измерения км/с/Мпк, ошибка 1σ .



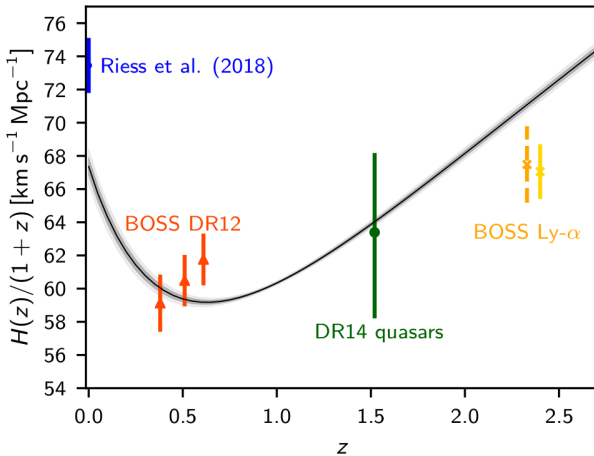
Амплитуда линейных возмущений плотности материи

Каталог скоплений галактик «Планк»	«Планк» TT+TE+EE+lowP
$\sigma_8 = 0.782 \pm 0.010$ P. A. R. Ade et al., 2015	$\sigma_8 = 0.831 \pm 0.013$ P. A. R. Ade et al., 2015

Ограничение по каталогу скоплений галактик «Планк» получено для $\Omega_m = 0.27$, ошибки 1σ .



Барионные акустические колебания в распределении облаков нейтрального водорода на $z_{\text{eff}} = 2.4$



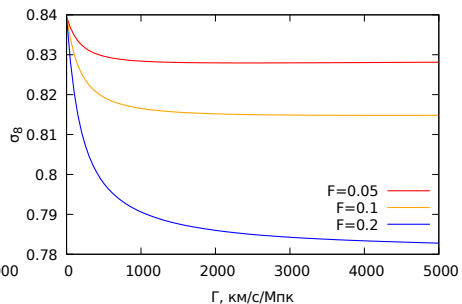
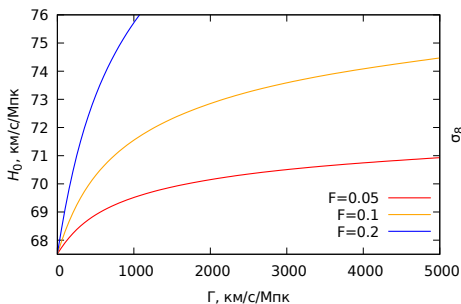
Космологическая модель с распадающейся темной материи

$F = \frac{\Omega_{\text{ddm}} h^2}{\Omega_{\text{sdm}} h^2 + \Omega_{\text{ddm}} h^2}$ - доля нестабильной холодной темной материи

Γ [км/с/Мпк] - ширина распада нестабильной частицы

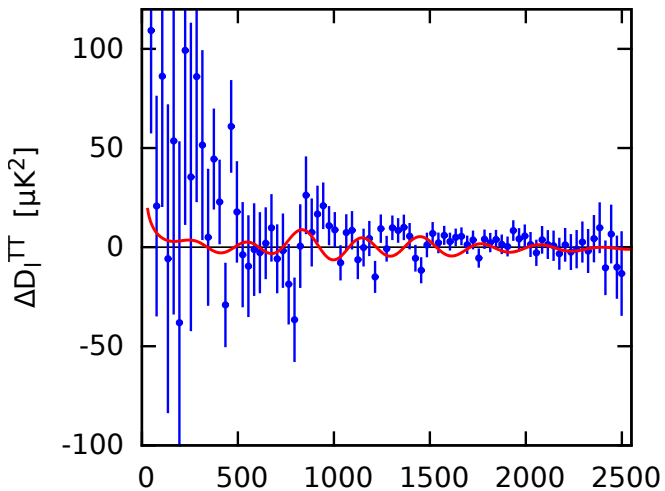
$$\dot{\rho}_{\text{ddm}} + 3H\rho_{\text{ddm}} = -\Gamma\rho_{\text{ddm}}$$

$$\dot{\rho}_{\text{rd}} + 4H\rho_{\text{rd}} = \Gamma\rho_{\text{ddm}}$$



Гравитационное линзирование «Планк»

Chudaykin et. al, 2016



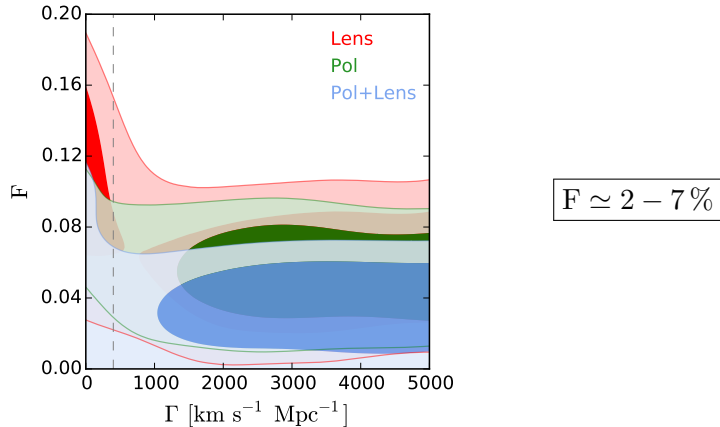
Моделирование Монте-Карло марковских цепей

Параметр	Описание
$\Omega_b h^2$	Плотность барионной материи
$\Omega_c h^2$	Плотность холодной темной материи
$100 \cdot \theta_*$	Угловой размер звукового горизонта в момент $z = z_*$
τ	Оптическая толщина реионизации
n_s	Наклон спектра начальных возмущений
$\ln(10^{10} A_s)$	Амплитуда спектра начальных возмущений
F	Доля нестабильной холодной темной материи
Γ	Ширина соответствующего распада

Набор	Описание
TT,TE,EE	TT, TE, EE спектры «Планк» на $l \geq 30$, а также TT в области $l \leq 29$
lowP	TE, EE спектры на $l \leq 29$
lens	Измерение $C_l^{\phi\phi}$ по картам «Планк» TTTT,TTEE,...
H_0	Измерение постоянной Хаббла $H_0 = 73.24 \pm 1.74$ по сверхновым типа Ia A. G. Riess et. al, 2016
CL	Измерение $\sigma_8 (\frac{\Omega_m}{0.27})^{0.3} = 0.782 \pm 0.01$ по каталогу скоплений галактик «Планк» P. A. R. Ade et al., 2015

Результат по данным «Планк» и сверхновым типа Ia

Обозначение	Набор	Улучшение
Pol	(TT, TE, EE + H_0 + CL) + lowP	1.86σ
Lens	(TT, TE, EE + H_0 + CL) + lens	2σ
Pol + Lens	(TT, TE, EE + H_0 + CL) + lowP + lens	1.17σ



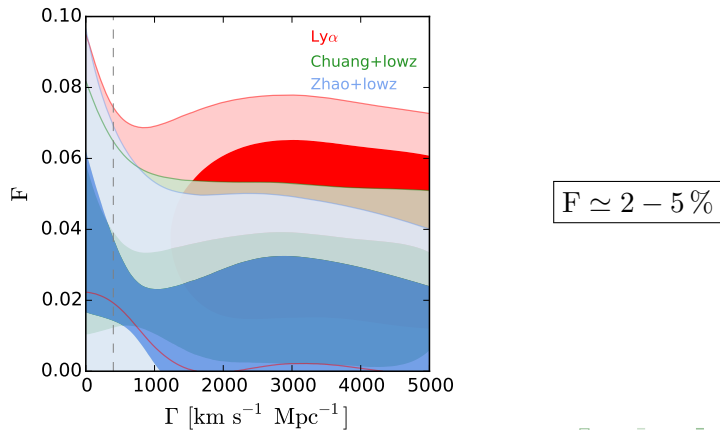
Данные 6dFGS и SDSS BOSS DR12

$$D_A(z) = (1+z)^{-1} \int_0^z dz'/H(z') \quad D_H(z) = 1/H(z) \quad f(z) = \frac{d \ln \delta}{d \ln a}$$

Изотропные измерения $D_V/r_s \equiv D_A^{2/3} D_H^{1/3}/r_s$:		
$z = 0.106$	6dFGS	F. Beutler et. al, 2011
$z = 0.15$	MGS	A. J. Ross et. al, 2015
Анизотропные измерения D_A/r_s и D_H/r_s на $0.2 < z < 0.75$		
$P(\vec{k})$ на (z_1, z_2, z_3)	Cuesta	A. J. Cuesta et. al, 2016
$\xi(\vec{s})$ на (z_1, z_2, z_3)	Gil-Marin(a)	H. Gil-Marin et. al, 2016
$P(\vec{k}) + \xi(\vec{s})$ на (z_1, z_2, z_3)	Alarm	S. Alam et. al, 2016
$P(\vec{k})$ на (z_1, \dots, z_9)	Zhao	G.-B. Zhao et. al, 2017
$\xi(\vec{s})$ на (z_1, \dots, z_9)	Wang	Y. Wang et. al, 2016
Измерения D_A/r_s , D_H/r_s и $f\sigma_8$ на $0.2 < z < 0.75$		
$\xi(\vec{s})$ на (z_1, z_2)	Chuang(a)	C.-H. Chuang et. al, 2016
$\xi(\vec{s})$ на (z_1, \dots, z_4)	Chuang(b)	C.-H. Chuang et. al, 2016
$P(\vec{k})$ (z_1, z_2)	Gil-Marin(b)	H. Gil-Marin et. al, 2016
$P(\vec{k}) + \xi(\vec{s})$ на (z_1, z_2, z_3)	Alarm	S. Alam et. al, 2016
Измерения D_A/r_s и D_H/r_s на $2 < z < 3.4$		
Lya-quasar	Bourboux	H. M. Bourboux et. al, 2017
Lya-Lya	Bautista	J. E. Bautista et. al, 2017

Результат по данным «Планк», сверхновым Ia, 6dFGS и SDSS BOSS DR12

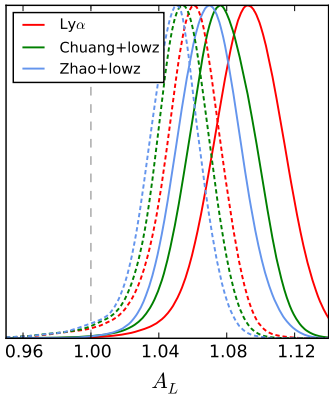
Обозначение	Набор	Улучшение
Zhao+lowz	(TT, TE, EE + H_0 + CL) + lowP + lens + Zhao + 6dFGS + MGS	0.14σ
Chuang+lowz	(TT, TE, EE + H_0 + CL) + lowP + lens + Chuang + 6dFGS + MGS	0.86σ
Ly α	(TT, TE, EE + H_0 + CL) + lowP + lens + Bourboux + Bautista	1.48σ



Амплитуда $C_l^{\phi\phi}$ в качестве свободного параметра

$$C_l^{\phi\phi} \rightarrow A_L C_l^{\phi\phi}$$

Набор	Улучшение
Zhao+lowz	0.14σ
Chuang+lowz	0.86σ
$\text{Ly}\alpha$	1.48σ
Zhao+lowz+A _L	1.65σ
Chuang+lowz+A _L	1.78σ
$\text{Ly}\alpha+A_L$	3.26σ



$$F \simeq 3 - 9 \%$$

Содержание

1 Космологическая модель с распадающейся темной материей

- Проблемы наблюдательной космологии
- Гравитационное линзирование
- Крупномасштабная структура Вселенной

2 Стерильные нейтрино как часть темной материи

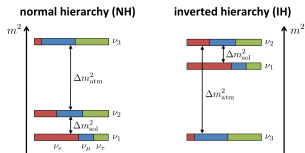
- Мотивация
- Фазовый переход в скрытом секторе

3 Когерентно осциллирующее слабо взаимодействующее скалярное поле

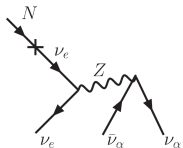
- Параметрический резонанс
- Осцилляции нейтрино в режиме большого поля
- Рождение внешним полем

4 Положения, выносимые на защиту

$$\mathcal{L}_N = i\bar{N}\hat{\partial}N + \frac{M}{2}\bar{N}^cN + y_\alpha\bar{L}_\alpha N\tilde{\mathcal{H}} + \text{h.c.}$$

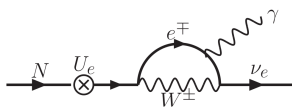


$$m_a \simeq \frac{m_D^2}{M} = \frac{(y_\alpha \langle \mathcal{H} \rangle)^2}{M} \sim \sqrt{\Delta m_{\text{sol}}^2}, \sqrt{\Delta m_{\text{atm}}^2}$$



$$\Gamma_{N \rightarrow 3\nu} = \frac{G_F^2 M^5}{96\pi^3} \sin^2 \theta < H_0$$

$$M < 50 \text{ кэВ} \left(\frac{1.1 \cdot 10^{-7}}{\theta^2} \right)^{1/5}$$

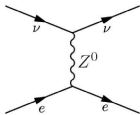
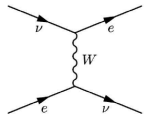


$$N \rightarrow \nu_e \gamma$$

$$M \stackrel{?}{=} 7.1 \text{ кэВ}$$

Проблемы холодной темной материи на малых масштабах

- недостаток галактик-спутников
- to-big-to-fail
- проблема сингулярного гало



$$\Gamma \approx 1.27 \cdot G_F^2 y T^5$$

$$V_{\text{eff}} \approx -\frac{14\pi}{45\alpha} G_F^2 y T^5 (2 + \cos^2 \theta_W) \sin^2 \theta_W$$

$$-HT \left. \frac{\partial f_N}{\partial T} \right|_{y=\text{const}} = \frac{\sin^2 2\theta}{\sin^2 2\theta + (\cos 2\theta - V_{\text{eff}} 2yT/M^2)^2} \frac{\Gamma}{4} f_A$$

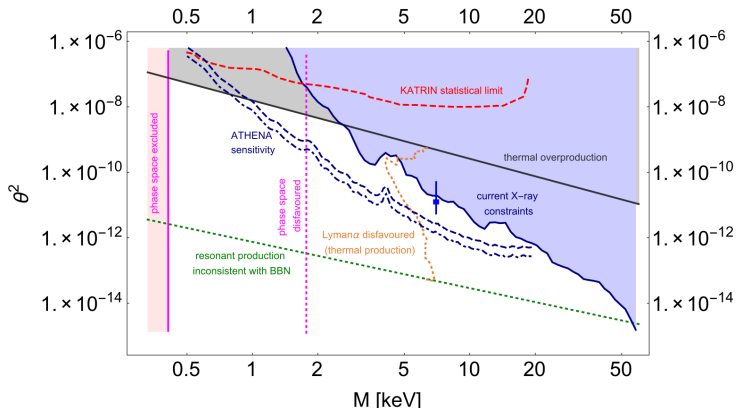
Нерезонансное производство

 $\langle\langle p \rangle\rangle = 3.15T$

$$\frac{f_N}{f_A} = \frac{2.9}{\sqrt{g_*}} \left(\frac{\theta^2}{10^{-6}} \right) \left(\frac{M}{1 \text{ кэВ}} \right) \frac{\pi}{4}$$

$$\Omega_N h^2 = \frac{M \cdot n_N}{\rho_{\text{crit}}/h^2} = \frac{1}{10.5} \left(\frac{M}{1 \text{ кэВ}} \right) \left(\frac{n_N}{1 \text{ см}^{-3}} \right)$$

- Прямые поиски («Троицк ню-масс») $\theta^2 \lesssim 10^{-3}$
- Плотность темной материи («Планк») $\Omega_N < \Omega_{\text{DM}}$
- Ограничение на темп радиационных распадов $\Omega_N \sin^2 2\theta \lesssim 3 \cdot 10^{-5} \left(\frac{1 \text{ кэВ}}{M}\right)^5$
- Ограничение из структур (Ly α лес Boyarsky et. al, 2009) $M > 8 \text{ кэВ} \frac{\langle y \rangle}{3.15}$



Фазовый переход I рода в скрытом секторе

$$\mathcal{L} = i\bar{N}\hat{\partial}N + y_\alpha\bar{L}_\alpha N\tilde{\mathcal{H}} + \text{h.c.} + \mathcal{L}_{\phi N} + \mathcal{L}_\phi$$

$$\mathcal{L}_{\phi N} = \frac{f}{2}\phi\bar{N}^c N + \text{h.c.}$$

$$\langle\langle\phi\rangle\rangle|_{T>T_c} = 0, \quad M = 0$$

$$\langle\langle\phi\rangle\rangle|_{T<T_c} = v_\phi, \quad M = fv_\phi$$

Осцилляции при $T \lesssim T_c \ll 100 \text{ МэВ}$

$$\langle\langle p \rangle\rangle = 4.1T$$

$$\frac{f_{N,\text{osc}}}{f_A} = 0.13 \times \theta^2 \left(\frac{10.75}{g_*} \right)^{1/2} \left(\frac{T_c}{\text{МэВ}} \right)^3 y$$

Примесь правокиральной компоненты N при $T \gtrsim T_c$

$$\langle\langle p \rangle\rangle = 1.28T$$

$$\frac{f_{N,\text{in}}}{f_A} \simeq \frac{m_D^2}{4y^2 T_c^2} = \frac{0.25 \times 10^{-6} \theta^2}{y^2} \left(\frac{M}{\text{кэВ}} \right)^2 \left(\frac{\text{МэВ}}{T_c} \right)^2$$

Производство стерильных нейтрино в модели с фазовым переходом

$$h^2 \Omega_{N,\text{osc}} \approx 4.3 \times \theta^2 \left(\frac{10.75}{g_*} \right)^{1/2} \left(\frac{T_c}{\text{МэВ}} \right)^3 \left(\frac{M}{\text{кэВ}} \right)$$

$$h^2 \Omega_{N,\text{in}} \simeq 10^{-6} \theta^2 \left(\frac{M}{\text{кэВ}} \right)^3 \left(\frac{\text{МэВ}}{T_c} \right)^2$$

$$T_{c,\text{min}} \simeq 0.05 \text{ МэВ} \left(\frac{M}{\text{кэВ}} \right)^{2/5}$$

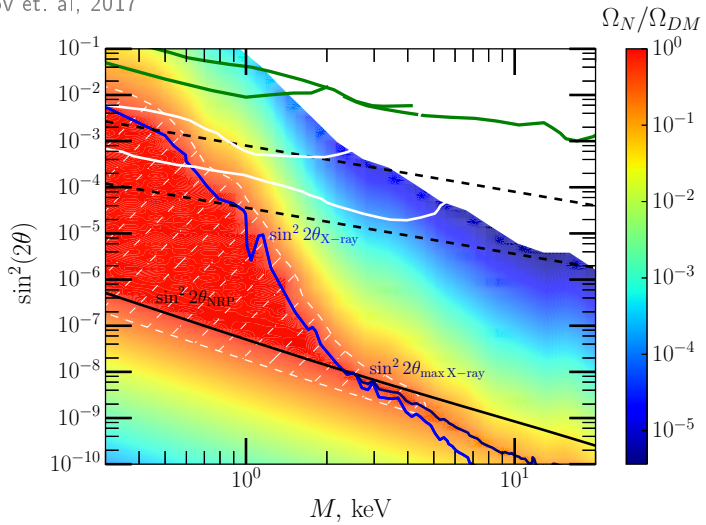
Минимальная доля стерильных нейтрино в общей плотности Вселенной

$$h^2 \Omega_{N,\text{min}} \simeq h^2 \Omega_{N,\text{osc}} + h^2 \Omega_{N,\text{in}} \simeq 0.9 \times 10^{-3} \theta^2 \left(\frac{M}{\text{кэВ}} \right)^{11/5}$$

Доля стерильных нейтрино Ω_N/Ω_{DM}

$$0.01 \text{ эВ} \approx \sqrt{\Delta m_{\text{sol}}^2} < m_a < \sum m_\nu \approx 0.2 \text{ эВ} \quad \text{Planck}$$

F. Bezrukov et al., 2017



Содержание

- 1 Космологическая модель с распадающейся темной материей
 - Проблемы наблюдательной космологии
 - Гравитационное линзирование
 - Крупномасштабная структура Вселенной
- 2 Стерильные нейтрино как часть темной материи
 - Мотивация
 - Фазовый переход в скрытом секторе
- 3 Когерентно осциллирующее слабо взаимодействующее скалярное поле
 - Параметрический резонанс
 - Осцилляции нейтрино в режиме большого поля
 - Рождение внешним полем
- 4 Положения, выносимые на защиту

Эволюция легкого скалярного поля в расширяющейся Вселенной

$$\mathcal{L} = i\bar{N}\hat{\partial}N + \frac{M}{2}\bar{N}^cN + y_\alpha\bar{L}_\alpha N\tilde{\mathcal{H}} + \text{h.c.} + \mathcal{L}_{\phi N} + \mathcal{L}_\phi$$

$$\mathcal{L}_{\phi N} = \frac{f}{2}\phi\bar{N}^cN + \text{h.c.}$$

$$\mathcal{L}_\phi = \frac{1}{2}(\partial\phi)^2 - \frac{1}{2}m_\phi^2\phi^2$$

$$m_\phi < H$$

$$\phi_i \simeq \text{const}$$

$$M_{N,i} = f\phi_i$$

$$m_\phi > H$$

$$|\phi| \propto a^{-3/2}$$

$$M_N = M_A \sin m_\phi t$$

$$M_A = M_{N,i} \left(\frac{a_i}{a} \right)^{3/2}$$

- Приводит к эффективной массе стерильного нейтрино $M \rightarrow M_{\text{eff}} \equiv M + M_N$
- Возможно квантовое рождение частиц внешним осциллирующим полем

Уравнение Шредингера для двухуровневой системы во внешнем поле

$$M_{\text{eff}} \equiv M + M_A \sin m_\phi t \quad \frac{M}{M_A} \ll 1 \quad \frac{M_A^2}{4p} \geq m_\phi$$

$$\Delta m^2 = M_{\text{eff}} \sqrt{M_{\text{eff}}^2 + 4m_D^2} \quad \operatorname{tg} \theta_{\text{eff}} = \frac{2m_D}{M_{\text{eff}} + \sqrt{M_{\text{eff}}^2 + 4m_D^2}}$$

$$i \frac{\partial}{\partial t} \begin{pmatrix} \psi_1 \\ \psi_2 \end{pmatrix} = \frac{\Delta m^2}{4p} \begin{pmatrix} -\cos 2\theta_{\text{eff}} & \sin 2\theta_{\text{eff}} \\ \sin 2\theta_{\text{eff}} & \cos 2\theta_{\text{eff}} \end{pmatrix} \begin{pmatrix} \psi_1 \\ \psi_2 \end{pmatrix}$$

$$y_1(t) = A_{\nu_a \rightarrow \nu_a} = \langle \psi_a | \psi(t) \rangle$$

$$y_2(t) = A_{\nu_a \rightarrow \nu_s} = \langle \psi_s | \psi(t) \rangle$$

$$y_1(0) = 1 \quad y_2(0) = 0$$

$$\begin{cases} \frac{\partial y_1(t)}{\partial t} = -i \frac{M_A^2}{2p} \frac{m_D}{M_A} \left(\frac{M}{M_A} + \sin m_\phi t \right) e^{-iM_A^2/(2p) \int_0^t (z + \sin m_\phi \zeta)^2 d\zeta} y_2(t) \\ \frac{\partial y_2(t)}{\partial t} = -i \frac{M_A^2}{2p} \frac{m_D}{M_A} \left(\frac{M}{M_A} + \sin m_\phi t \right) e^{iM_A^2/(2p) \int_0^t (z + \sin m_\phi \zeta)^2 d\zeta} y_1(t) \end{cases}$$

Адиабатичность изменения и малость угла смешивания

$$\left| \frac{\dot{\theta}_{\text{eff}}}{\Delta m^2 / 2p} \right| \ll 1 \quad \theta_{\text{eff}} \simeq \frac{m_D}{M_{\text{eff}}} \ll 1$$

Метод стационарной фазы с $M_A^2/(2pm_\phi) > 1$

$$\frac{\partial^2 y_2}{\partial t^2} - \frac{\partial y_2}{\partial t} \left[i \frac{M_A^2}{2p} \left(\frac{M}{M_A} + \sin m_\phi t \right)^2 + \frac{m_\phi \cos m_\phi t}{\frac{M}{M_A} + \sin m_\phi t} \right] + 4y_2 \left(\frac{M_A^2}{4p} \right)^2 \frac{m_D^2}{M_A^2} \left(\frac{M}{M_A} + \sin m_\phi t \right)^2 = 0$$

$$y_2(t_1) \approx -i \frac{M_A^2}{2p} \frac{m_D}{M_A} \int_0^{t_1} \left(\frac{M}{M_A} + \sin m_\phi t \right) e^{iM_A^2/(2p) \cdot \int_0^t (\frac{M}{M_A} + \sin m_\phi \zeta)^2 d\zeta} dt$$

$$\int_{t_l-\delta}^{t_l+\delta} g(t) e^{i\beta h(t)} dt \sim ig'(t_l) \frac{\sqrt{3}}{3} \Gamma\left(\frac{2}{3}\right) \left(\frac{6}{\beta|h'''(t_l)|}\right)^{2/3} e^{i\beta h(t_l)}$$

$$\sum y_2|_l = \sum_{l=2k} y_2|_l + \sum_{l=2k+1} y_2|_l$$

$$\sum_{l=2k} y_2|_l = 2 \frac{m_D}{M_A} \sqrt{3} \Gamma\left(\frac{2}{3}\right) \left(\frac{M_A^2}{48pm_\phi}\right)^{1/3} \sum_{k=0}^{l_{\max}/2} \exp \left\{ i \frac{M_A^2}{2pm_\phi} \pi k \left(1 + 2 \frac{M^2}{M_A^2} \right) \right\}$$

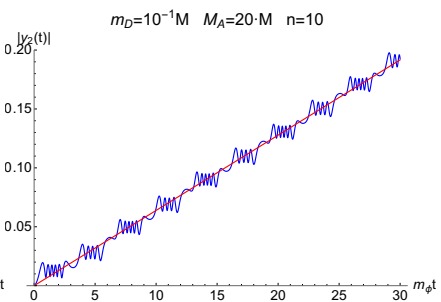
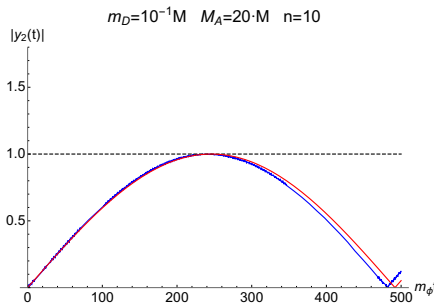
$$\sum_{l=2k+1} y_2|_l = -2 \frac{m_D}{M_A} \sqrt{3} \Gamma\left(\frac{2}{3}\right) \left(\frac{M_A^2}{48pm_\phi}\right)^{1/3} \sum_{k=0}^{l_{\max}/2} \exp \left\{ i \frac{M_A^2}{2pm_\phi} \left[\left(\pi k + \frac{1}{2} \right) \left(1 + 2 \frac{M^2}{M_A^2} \right) + 4 \frac{M}{M_A} \right] \right\}$$

$$\boxed{\frac{M_A^2 + 2M^2}{4p} = nm_\phi, \quad n \in \mathbb{N}}$$

$$\frac{M_A^2 + 2M^2}{4p} = nm$$

$$P_{N \rightarrow \nu_a} \simeq \sin^2(\omega_{\text{res}} t / 2)$$

$$\omega_{\text{res}} \approx 1.3 m_\phi \frac{m_D}{M_A} n^{1/3} \begin{cases} |\sin \frac{4M}{M_A} n| & \text{для четных } n \\ |\cos \frac{4M}{M_A} n| & \text{для нечетных } n \end{cases}$$



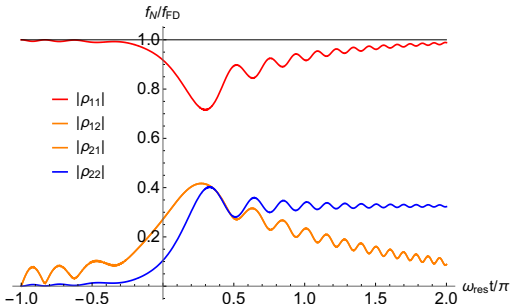
Эффект декогеренции и расширения Вселенной

$$\Delta m^2 = M_{\text{eff}} \sqrt{M_{\text{eff}}^2 + 4m_D^2} \quad \operatorname{tg} \theta_{\text{eff}} = \frac{2m_D}{M_{\text{eff}} + \sqrt{M_{\text{eff}}^2 + 4m_D^2}}$$

$$\mathcal{H} = \frac{\Delta m^2}{4p} \begin{pmatrix} -\cos 2\theta_{\text{eff}} & \sin 2\theta_{\text{eff}} \\ \sin 2\theta_{\text{eff}} & \cos 2\theta_{\text{eff}} \end{pmatrix} \quad \Gamma_A = \begin{pmatrix} \Gamma & 0 \\ 0 & 0 \end{pmatrix} \quad \rho_{\text{eq}} = \begin{pmatrix} f_{\text{FD}} & 0 \\ 0 & f_{\text{FD}} \end{pmatrix}$$

$$i \frac{\partial}{\partial t} \rho = [\mathcal{H}, \rho] - \frac{i}{2} \{ \Gamma_A, \rho - \rho_{\text{eq}} \}$$

$$p = \tilde{p}(1 - Ht)$$
$$M_A = \tilde{M}_A(1 - \frac{3}{2}Ht)$$
$$\frac{\sqrt{2}m_\phi H}{\omega_{\text{res}}^2} = 3 \quad \Gamma_A = 0.5\omega_{\text{res}}$$

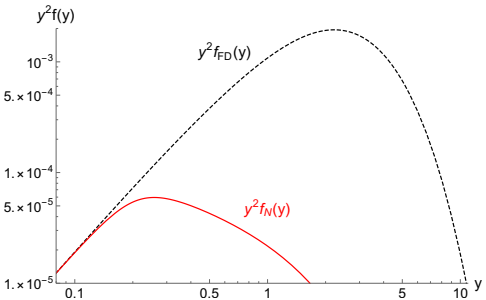


$$M_A \equiv M \left(\frac{T}{T_e} \right)^{3/2}$$

$$f_N(y) = \frac{f_{FD}(y)}{\sqrt{1 + 0.8 \left(\frac{y}{y_s} \right)^5}}$$

$$y_s \simeq 0.2 \left(\frac{1 \text{ кэВ}}{M} \right)^{2/5}$$

$$\langle\langle p \rangle\rangle = T < 3.15T$$



$$\theta \sim 3.2 \times 10^{-6} \left(\frac{1 \text{ кэВ}}{M} \right)^3 \left(\frac{T_e}{11 \text{ МэВ}} \right)^{9/4} \left(\frac{m_\phi}{1 \text{ эВ}} \right)^{3/4}$$

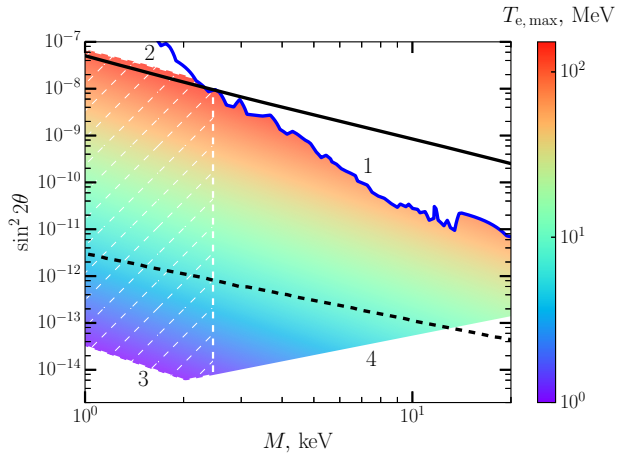
$$\max/\min \theta(m_\phi, T_e)$$

$$\begin{aligned} \Gamma &< \omega_{\text{res}} \\ m_\phi &< M \end{aligned}$$

$$\theta < \theta_{\text{X-ray}}$$

$$1 \text{ МэВ} < T_e < T_s/3$$

$$\frac{n_N \sigma_{\text{ann}}}{H} \Big|_{\substack{T=M \\ f=f_{\text{min}}}} < 1$$



$$M > 2.5 \text{ кэВ}$$

$$f_{\text{min}}^2 = \frac{m_\phi^2 M^2}{2\Omega_{DM}\rho_{\text{crit}}} \frac{h_0 T_0^3}{h_e T_e^3}$$

$$T_s = 33 \text{ МэВ} \left(\frac{T_e}{11 \text{ МэВ}} \right)^{3/5} \times \\ \times \left(\frac{m_\phi}{\text{эВ}} \right)^{1/5} \left(\frac{\theta}{3.2 \cdot 10^{-6}} \right)^{2/5}$$

$$\sigma_{\text{ann}} \sim 10^{-2} \frac{f^4}{M^2}$$

$$M_{\text{eff}} = M_A(z + \sin m_\phi t) \quad M_A = M \left(\frac{T}{T_e} \right)^{3/2} \quad \sin \theta_{\text{eff}} \approx \frac{m_D}{M_{\text{eff}}} \ll 1$$

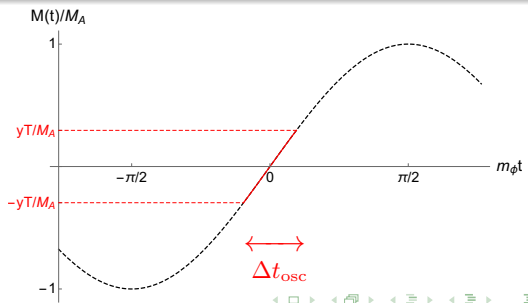
Режим большого поля: $3T_e \ll M \Rightarrow p \sim 3T \ll M_A \quad \forall T > T_e$

$$z \equiv M/M_A \ll 1 \quad \bar{x} \equiv yT/M_A \ll 1 \quad \lambda \equiv 2m_\phi/\Gamma \quad A \equiv \sqrt{2yTV_{\text{eff}}}/M_A < \bar{x}$$

$$\langle \Delta_M \rangle = \frac{\langle M_{\text{eff}}^2 \rangle}{2yT} + V_{\text{eff}} \quad \langle \theta_M^2 \rangle = \theta^2 z^2 \frac{\langle M_{\text{eff}}^2 \rangle/M_A^2}{(A^2 + \langle M_{\text{eff}}^2 \rangle/M_A^2)^2}$$

$$\Delta t_{\text{osc}} = 2\bar{x}m_\phi^{-1}$$

$$\Delta t_{\text{coh}} = 2\Gamma^{-1}$$



Осцилляции в режиме большого поля и рождение внешним полем

- $2\Gamma^{-1} \gg \Delta t_{\text{osc}}$

$$\langle \theta_M^2 \rangle \approx \langle \theta_M^2 \rangle_{\Delta t_{\text{osc}}} \frac{\Delta t_{\text{osc}}}{\pi m_\phi^{-1}} = \frac{3\theta^2 z^2}{\bar{x}^2} \frac{2\bar{x}}{\pi} \propto T^{-5/2}$$

- $2\Gamma^{-1} \ll \Delta t_{\text{osc}}$

$$\langle \theta_M^2 \rangle \approx \left[\int_{-\bar{x}}^{\bar{x}} \langle \theta_M^2 \rangle_{2\Gamma^{-1}} \frac{d\varphi_0}{2\bar{x}} \right] \frac{\Delta t_{\text{osc}}}{\pi m^{-1}} = \frac{\theta^2 z^2}{\lambda} \frac{1+6A^2/\lambda^2}{(1+12A^2/\lambda^2)^{3/2}} 2\sqrt{3} \begin{cases} \propto T^2, & A \ll \lambda \\ \propto T^{-9/2}, & A \gg \lambda \end{cases}$$

$$\boxed{\Omega_{N,\text{osc}} = 0.1 \times \theta^2 \sqrt{\frac{10.75}{g_*}} \left(\frac{10^{-10}}{f}\right)^{16/13} \left(\frac{m_\phi}{0.01 \text{эВ}}\right) \left(\frac{M}{1 \text{кэВ}}\right)^5}$$

$$\frac{\Omega_{N,\text{osc}}}{\Omega_{\text{DW}}} = 1.4 \times 10^{-8} \left(\frac{10^{-10}}{f}\right)^{16/13} \left(\frac{m_\phi}{0.01 \text{эВ}}\right) \left(\frac{M}{\text{кэВ}}\right)^3$$

Рождение внешним полем в $M + f\phi(t) = 0$ при $T \gtrsim T_e$

$$n_N \simeq \frac{2}{6\pi^2} (Mm_\phi)^{3/2} \quad \rho_N(T_e) = \frac{M}{3\pi^2} (Mm_\phi)^{3/2} \quad p_f \sim \sqrt{Mm_\phi} \ll M$$

$$h^2 \Omega_N = \frac{\rho_N(T_e)}{\rho_{\text{crit}}/h^2} \left(\frac{T_0}{T_e}\right)^3 \simeq 0.2 \times \left(\frac{f}{0.1}\right)^2 \sqrt{\frac{M}{1 \text{кэВ}}} \sqrt{\frac{0.01 \text{эВ}}{m_\phi}} \times \Omega_{\text{DM}} h^2$$

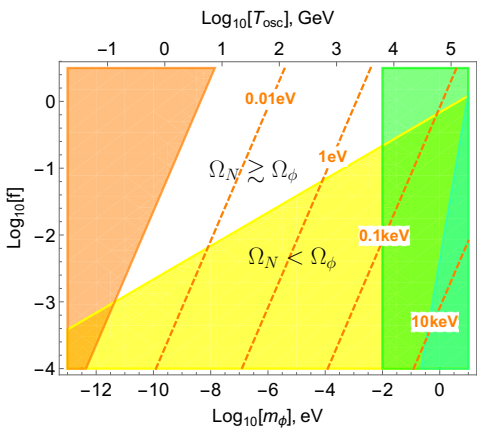
$$\Omega_N + \Omega_\phi = \Omega_{\text{DM}}$$

$$f\phi_0 > M$$

$$\begin{cases} m_\phi > 0.01 \text{ эВ} \\ \Gamma_{\phi \rightarrow \nu_a \nu_a} > H_0 \end{cases}$$

$$\Omega_{N,\text{res}} > \Omega_{\text{DM}}$$

F. Bezrukov et. al, 2018



$$\frac{T_e^3}{T_0^3} = \frac{m_\phi^2 M^2}{2\Omega_{\text{DM}} \rho_{\text{crit}}} \frac{1}{f^2}$$

$$T_{\text{osc}} = \frac{T_0}{\Omega_{\text{rad}}^{1/4}} \left(\frac{m_\phi}{H_0} \right)^{1/2}$$

$$M \gtrsim 1 \text{ кэВ} \left(\frac{Q}{5 \cdot 10^{-3} \frac{M_\odot / \text{пк}^3}{(\text{км/с})^3}} \right)^{1/4}$$

Содержание

1 Космологическая модель с распадающейся темной материей

- Проблемы наблюдательной космологии
- Гравитационное линзирование
- Крупномасштабная структура Вселенной

2 Стерильные нейтрино как часть темной материи

- Мотивация
- Фазовый переход в скрытом секторе

3 Когерентно осциллирующее слабо взаимодействующее скалярное поле

- Параметрический резонанс
- Осцилляции нейтрино в режиме большого поля
- Рождение внешним полем

4 Положения, выносимые на защиту

- 1 Выяснено, что модель с относительной концентрацией распадающейся ТМ от 2 до 7% несколько лучше (на уровне $1.2 - 2\sigma$) описывает совокупный набор космологических данных.
- 2 Показана совместность результатов последних измерений барионных акустических осцилляций и искажений пространства красных смещений в распределении галактик с предсказаниями стандартной космологической модели. Модель с относительной концентрацией распадающейся ТМ от 2 до 5% несколько лучше (на уровне 1.5σ) описывает распределение облаков нейтрального водорода во Вселенной по данным Слоановского цифрового обзора неба. При отсутствии информации об амплитуде спектра мощности линзирующего потенциала доля нестабильной ТМ достигает 3 – 9%, что соответствует лучшему (на уровне $1.7 - 3.3\sigma$) описанию наблюдательных данных по сравнению со стандартной космологической моделью.

- 3 Построена модификация модели со стерильным нейтрино с фазовым переходом в скрытом секторе, в которой удается сделать область относительно больших углов смешивания $\theta^2 \lesssim 10^{-3}$ совместной с текущими космологическими и астрофизическими ограничениями. Открытая область пространства параметров «масса-угол смешивания», в которой стерильное состояние ответственно за формирование малой массы активных нейтрино, доступна для прямого исследования на перспективных экспериментальных установках «Троицк ню-масс» и KATRIN.
- 4 Предсказана возможность резонансного усиления осцилляций в присутствии когерентно осциллирующего скалярного поля, взаимодействующего со стерильным нейтрино. Показано, что данный механизм может быть ответственен за производство ТМ из стерильных нейтрино с очень малым углом смешивания $\theta^2 \gtrsim 10^{-14}$. Спектр образовавшихся в резонансе частиц позволяет ослабить традиционные для теплой ТМ ограничения из структур.
- 5 Предложен механизм рождения холодной ТМ из стерильных нейтрино внешним нестационарным полем. Показано, что стерильные нейтрино с массой 1 кэВ и выше могут составлять ТМ.

Список публикаций

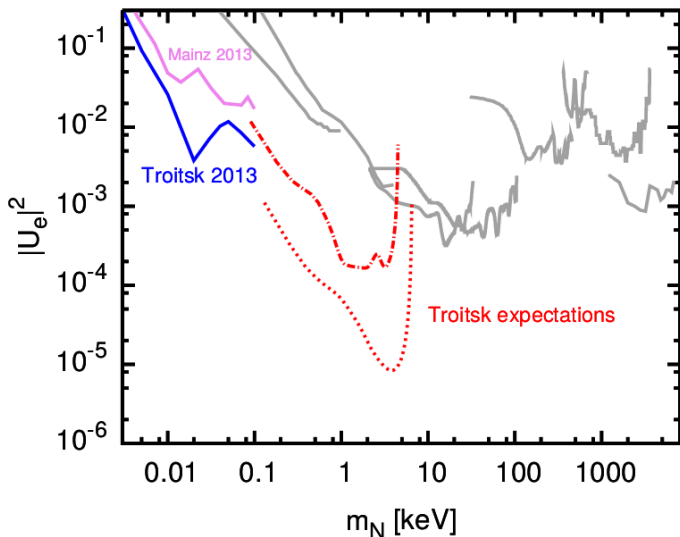
- 1 A. S. Chudaykin, D. S. Gorbunov and I. I. Tkachev. Dark matter component decaying after recombination: Lensing constraints with Planck data // Phys. Rev. D – 2016. – V. 94. – P. 023528.
- 2 A. S. Chudaykin, D. S. Gorbunov and I. I. Tkachev. Dark matter component decaying after recombination: Sensitivity to baryon acoustic oscillation and redshift space distortion probes // Phys. Rev. D – 2018. – V. 97. – No 08. – P. 083508.
- 3 F. L. Bezrukov, A. S. Chudaykin and D. S. Gorbunov. Hiding an elephant: heavy sterile neutrino with large mixing angle does not contradict cosmology // JCAP – 2017. – V. 1706. – No 06. – P. 051.
- 4 F. L. Bezrukov, A. S. Chudaykin and D. S. Gorbunov. Induced resonance makes light sterile neutrino Dark Matter cool // Phys. Rev. D – 2019. – V. 99. – P. 083507.

Апробация работы

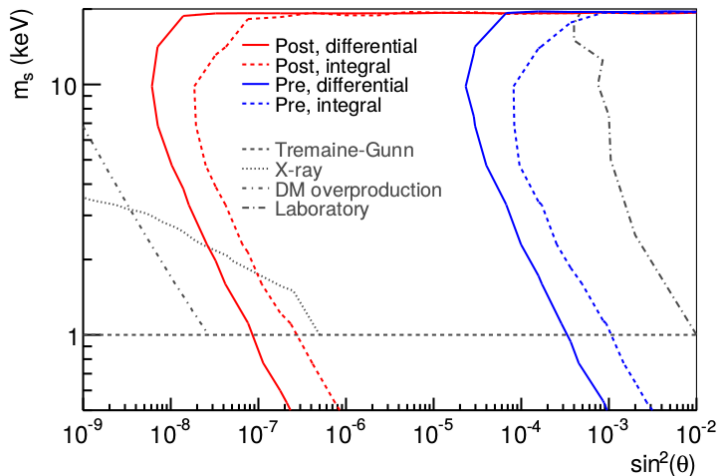
- 1 Международная конференция «39th International Conference on High Energy Physics» (ICHEP2018), Сеул, Корея, 4-11 июля 2018.
- 2 Международная конференция «20th International Seminar on High Energy Physics» (QUARKS-2018), Валдай, Россия, 27 мая - 2 июня 2018.
- 3 Международная конференция «6th International Conference on New Frontiers in Physics» (ICNFP2017), Колимбари, Крит, Греция, 17-29 августа 2017.
- 4 Всероссийская конференция «Астрофизика высоких энергий сегодня и завтра» (HEA-2017), Москва, Россия, 24-30 августа 2017.
- 5 Зацепинские чтения, Москва, Россия, 24 и 26 мая 2017.
- 6 60-ая Всероссийская научная конференция МФТИ, Долгопрудный, Россия, 20-25 ноября 2017.
- 7 Международная конференция «19th International Seminar on High Energy Physics» (QUARKS-2016), Пушкин, Россия, 29 мая - 4 июня 2016.
- 8 Межинститутская молодежная конференция «Физика элементарных частиц и космология», Москва, Россия, 28-30 октября, 2015.

Спасибо за внимание

Ограничения из прямых поисков: «Троицк ню-масс»



Ограничения из прямых поисков: «КАТРИН»



Ограничения из прямых поисков: «Троицк ню-масс» 2017

